

# Quaternionen und Bilderkennung

## Einführung und Identifizierung

Dieter Kilsch

eh. Technische Hochschule Bingen

APL Germany - GSE Working Group Germany,  
Köln, 17. April 2018

- 1 Einleitung
- 2 Quaternionen
- 3 Quaternionen in der Bilderkennung

# Körper – und dann ?

## Reelle und komplexe Zahlen und ?

$$\begin{array}{c} \mathbb{H} \\ | \\ \mathbb{C} \\ | \\ \mathbb{R} \end{array}$$

- $\mathbb{R}$  ist topologisch vollständig (Kontinuum).  
 $x^2 + 1 = 0$  hat keine Lösung.
- $\mathbb{C}$  ist algebraisch abgeschlossen ist: Jedes Polynom hat eine Nullstelle. Es kann keine „kleinen“ Körper über  $\mathbb{C}$  geben.
- Satz von Gelfand-Mazur: Alle endlich-dimensionalen Schiefkörper, die  $\mathbb{R}$  enthalten, sind isomorph zu  $\mathbb{R}$ ,  $\mathbb{C}$  oder  $\mathbb{H}$ : Schiefkörper der Quaternionen oder Hamiltonians (William Rowan Hamilton, ir. Mathematiker und Physiker, 1805 (Dublin) - 1865 (Dunsink bei Dublin)).

# Körper – und dann ?

## Reelle und komplexe Zahlen und ?

$$\begin{array}{c} \mathbb{H} \\ | \\ \mathbb{C} \\ | \\ \mathbb{R} \end{array}$$

- $\mathbb{R}$  ist topologisch vollständig (Kontinuum).  
 $x^2 + 1 = 0$  hat keine Lösung.
- $\mathbb{C}$  ist algebraisch abgeschlossen ist: Jedes Polynom hat eine Nullstelle. Es kann keine „kleinen“ Körper über  $\mathbb{C}$  geben.
- Satz von Gelfand-Mazur: Alle endlich-dimensionalen Schiefkörper, die  $\mathbb{R}$  enthalten, sind isomorph zu  $\mathbb{R}$ ,  $\mathbb{C}$  oder  $\mathbb{H}$ : Schiefkörper der Quaternionen oder Hamiltonians (William Rowan Hamilton, ir. Mathematiker und Physiker, 1805 (Dublin) - 1865 (Dunsink bei Dublin)).

# Körper – und dann ?

## Reelle und komplexe Zahlen und ?

$$\begin{array}{c} \mathbb{H} \\ | \\ \mathbb{C} \\ | \\ \mathbb{R} \end{array}$$

- $\mathbb{R}$  ist topologisch vollständig (Kontinuum).  
 $x^2 + 1 = 0$  hat keine Lösung.
- $\mathbb{C}$  ist algebraisch abgeschlossen ist: Jedes Polynom hat eine Nullstelle. Es kann keine „kleinen“ Körper über  $\mathbb{C}$  geben.
- **Satz von Gelfand-Mazur:** Alle endlich-dimensionalen Schiefkörper, die  $\mathbb{R}$  enthalten, sind isomorph zu  $\mathbb{R}$ ,  $\mathbb{C}$  oder  $\mathbb{H}$ : Schiefkörper der Quaternionen oder Hamiltonians (William Rowan Hamilton, ir. Mathematiker und Physiker, 1805 (Dublin) - 1865 (Dunsink bei Dublin)).

## 1 Einleitung

## 2 Quaternionen

- Quaternion als komplexe Matrizen
- Quaternionen als reeller Raum
- Einheitsquaternionen und Drehungen im Imaginärteil

## 3 Quaternionen in der Bilderkennung

# Schiefkörper $\mathbb{H}$ als komplexe Matrizen

$$\mathbb{H} \subseteq \mathbb{C}^{2,2}$$

 $\mathbb{C}^{2,2}$ 

|

 $\mathbb{C}$ 

|

 $\mathbb{R}$ 

$$\mathbb{C}^{2,2} \text{ zu groß: } \begin{pmatrix} 1 & 0 \\ 0 & 0 \end{pmatrix} \begin{pmatrix} 0 & 0 \\ 0 & 1 \end{pmatrix} = \begin{pmatrix} 0 & 0 \\ 0 & 0 \end{pmatrix}$$

Schiefkörper  $\mathbb{H}$  als komplexe Matrizen

$$\mathbb{H} \subseteq \mathbb{C}^{2,2}$$

 $\mathbb{C}^{2,2}$ 
 $|$   
 $\mathbb{C}$ 
 $|$   
 $\mathbb{R}$ 

## Definition (Quaternionen)

$$h_0 = \text{Id} = \begin{pmatrix} 1 & 0 \\ 0 & 1 \end{pmatrix}, \quad h_1 = \begin{pmatrix} i & 0 \\ 0 & -i \end{pmatrix},$$

$$h_2 = \begin{pmatrix} 0 & 1 \\ -1 & 0 \end{pmatrix}, \quad h_3 = \begin{pmatrix} 0 & i \\ i & 0 \end{pmatrix}.$$

$$\begin{aligned} \mathbb{H} &:= \{a h_0 + b h_1 + c h_2 + d h_3 \mid a, b, c, d \in \mathbb{R}\} \\ &= \left\{ \begin{pmatrix} a + bi & c + di \\ -c + di & a - bi \end{pmatrix} \mid a, b, c, d \in \mathbb{R} \right\} \\ &= \left\{ \begin{pmatrix} v & w \\ -\bar{w} & \bar{v} \end{pmatrix} \mid v, w \in \mathbb{C} \right\} \end{aligned}$$



# Schiefkörper $\mathbb{H}$ als komplexe Matrizen

## Eigenschaften

- 1  $\mathbb{H}$  ist abgeschlossen unter Matrizenaddition und der  $\cdot$ -Multiplikation, enthält die identische Matrix und ist somit ein Ring mit Eins.
- 2  $h_1^2 = h_2^2 = h_3^2 = -h_0$ .
- 3  $h_1 h_2 = h_3$ ,  $h_2 h_3 = h_1$ ,  $h_3 h_1 = h_2$  und  $h_2 h_1 = -h_3$ ,  $h_3 h_2 = -h_1$ ,  $h_1 h_3 = -h_2$ .
- 4 Die Abbildung

$$\Phi : \left\{ \begin{array}{l} (\mathbb{R}^4, +) \rightarrow (\mathbb{H}, +) \\ (a, b, c, d) \mapsto \begin{pmatrix} a + bi & c + di \\ -c + di & a - bi \end{pmatrix} \end{array} \right\}$$

ist verträglich mit der Vektoraddition / Matrizenaddition und der Skalarmultiplikation. Folglich ist sie ein Vektorraumhomomorphismus, der bijektiv ist. Als ist  $\Phi$  ein Vektorraumisomorphismus.

# Schiefkörper $\mathbb{H}$ als komplexe Matrizen

## Eigenschaften

- ①  $\mathbb{H}$  ist abgeschlossen unter Matrizenaddition und der  $\cdot$ -Multiplikation, enthält die identische Matrix und ist somit ein Ring mit Eins.
- ②  $h_1^2 = h_2^2 = h_3^2 = -h_0$ .  
Damit enthält  $\mathbb{H}$  drei Kopien der komplexen Zahlen.
- ③  $h_1 h_2 = h_3$ ,  $h_2 h_3 = h_1$ ,  $h_3 h_1 = h_2$  und  
 $h_2 h_1 = -h_3$ ,  $h_3 h_2 = -h_1$ ,  $h_1 h_3 = -h_2$ .
- ④ Die Abbildung

$$\Phi : \left\{ \begin{array}{l} (\mathbb{R}^4, +) \rightarrow (\mathbb{H}, +) \\ (a, b, c, d) \mapsto \begin{pmatrix} a + bi & c + di \\ -c + di & a - bi \end{pmatrix} \end{array} \right\}$$

ist verträglich mit der Vektoraddition / Matrizenaddition und der Skalarmultiplikation. Folglich ist sie ein Vektorraumhomomorphismus, der bijektiv ist. Also ist  $\Phi$  ein Vektorraumisomorphismus.

# Schiefkörper $\mathbb{H}$ als komplexe Matrizen

## Eigenschaften

- ①  $\mathbb{H}$  ist abgeschlossen unter Matrizenaddition und der  $\cdot$ -Multiplikation, enthält die identische Matrix und ist somit ein Ring mit Eins.
- ②  $h_1^2 = h_2^2 = h_3^2 = -h_0$ .
- ③  $h_1 h_2 = h_3$ ,  $h_2 h_3 = h_1$ ,  $h_3 h_1 = h_2$  und  
 $h_2 h_1 = -h_3$ ,  $h_3 h_2 = -h_1$ ,  $h_1 h_3 = -h_2$ .  
 Diese Regeln erinnern an die Rechenregeln des Kreuzproduktes in  $\mathbb{R}^3$ .  
 Diese Multiplikation ist damit nicht kommutativ.
- ④ Die Abbildung

$$\Phi : \left\{ \begin{array}{l} (\mathbb{R}^4, +) \rightarrow (\mathbb{H}, +) \\ (a, b, c, d) \mapsto \begin{pmatrix} a + bi & c + di \\ -c + di & a - bi \end{pmatrix} \end{array} \right\}$$

ist verträglich mit der Vektoraddition / Matrizenaddition und der

Skalarmultiplikation. Feldlich ist sie ein Vektorraumhomomorphismus

# Schiefkörper $\mathbb{H}$ als komplexe Matrizen

## Eigenschaften

- ①  $\mathbb{H}$  ist abgeschlossen unter Matrizenaddition und der  $\cdot$ -Multiplikation, enthält die identische Matrix und ist somit ein Ring mit Eins.
- ②  $h_1^2 = h_2^2 = h_3^2 = -h_0$ .
- ③  $h_1 h_2 = h_3$ ,  $h_2 h_3 = h_1$ ,  $h_3 h_1 = h_2$  und  $h_2 h_1 = -h_3$ ,  $h_3 h_2 = -h_1$ ,  $h_1 h_3 = -h_2$ .
- ④ Die Abbildung

$$\Phi : \left\{ \begin{array}{l} (\mathbb{R}^4, +) \rightarrow (\mathbb{H}, +) \\ (a, b, c, d) \mapsto \begin{pmatrix} a + bi & c + di \\ -c + di & a - bi \end{pmatrix} \end{array} \right\}$$

ist verträglich mit der Vektoraddition / Matrizenaddition und der Skalarmultiplikation. Folglich ist sie ein Vektorraumhomomorphismus, der bijektiv ist. Als ist  $\Phi$  ein Vektorraumisomorphismus.

# Schiefkörper $\mathbb{H}$ als komplexe Matrizen

## Satz

$\mathbb{H}$  ist ein Schiefkörper mit Zentrum  $\mathbb{R} h_0$ .

## Beweis:

$$\textcircled{1} \quad \begin{pmatrix} a + bi & c + di \\ -c + di & a - bi \end{pmatrix}^{-1} = \frac{1}{a^2 + b^2 + c^2 + d^2} \begin{pmatrix} a - bi & -c - di \\ c - di & a + bi \end{pmatrix}$$

$$\begin{aligned} \textcircled{2} \quad & \begin{pmatrix} a_1 + b_1 i & c_1 + d_1 i \\ -c_1 + d_1 i & a_1 - b_1 i \end{pmatrix} \cdot \begin{pmatrix} a_2 + b_2 i & c_2 + d_2 i \\ -c_2 + d_2 i & a_2 - b_2 i \end{pmatrix} \\ &= \begin{pmatrix} a_1 a_2 - b_1 b_2 - c_1 c_2 - d_1 d_2 + (a_1 b_2 + b_1 a_2 + c_1 d_2 - d_1 c_2) i \\ -c_1 a_2 - d_1 b_2 - a_1 c_2 + b_1 d_2 + (-c_1 b_2 + d_1 a_2 + a_1 d_2 + b_1 c_2) i \\ a_1 c_2 - b_1 d_2 + c_1 a_2 + d_1 b_2 + (a_1 d_2 + b_1 c_2 - c_1 b_2 + d_1 a_2) i \\ -c_1 c_2 - d_1 d_2 + a_1 a_2 - b_1 b_2 + (-c_1 d_2 + d_1 c_2 - a_1 b_2 - b_1 a_2) i \end{pmatrix} \end{aligned}$$

$\textcircled{3}$  Das Zentrum kann durch Nachrechnen verifiziert werden.

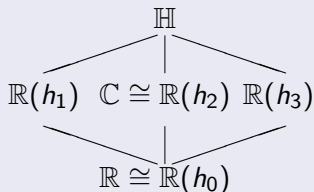
# Schiefkörper $\mathbb{H}$ als komplexe Matrizen

## Zusammenfassung

$$\textcircled{1} \left\{ h_0 = \text{Id}, h_1 = \begin{pmatrix} i & 0 \\ 0 & -i \end{pmatrix}, h_2 = \begin{pmatrix} 0 & 1 \\ -1 & 0 \end{pmatrix}, h_3 = \begin{pmatrix} 0 & i \\ i & 0 \end{pmatrix} \right\}$$

bildet eine reelle Basis von  $\mathbb{H}$ .

- $\textcircled{2}$   $\mathbb{H}$  enthält mit  $\mathbb{R}(h_i)$ ,  $(i, \dots, 3)$  drei Kopien der komplexen Zahlen, deren Schnitt  $\mathbb{R} \cong \mathbb{R}(h_0)$  das Zentrum von  $\mathbb{H}$  ist.



# Quaternionenschiefkörper $(\mathbb{R}^4, +, \cdot)$

## Bemerkung

$(\mathbb{R}^4, +, \cdot)$  mit der Vektoraddition und der Multiplikation

$$\begin{pmatrix} a_1 \\ b_1 \\ c_1 \\ d_1 \end{pmatrix} \cdot \begin{pmatrix} a_2 \\ b_2 \\ c_2 \\ d_2 \end{pmatrix} \cong \begin{pmatrix} a_1 + b_1 i & c_1 + d_1 i \\ -c_1 + d_1 i & a_1 - b_1 i \end{pmatrix} \cdot \begin{pmatrix} a_2 + b_2 i & c_2 + d_2 i \\ -c_2 + d_2 i & a_2 - b_2 i \end{pmatrix}$$

# Quaternionenschiefkörper $(\mathbb{R}^4, +, \cdot)$

## Bemerkung

$(\mathbb{R}^4, +, \cdot)$  mit der Vektoraddition und der Multiplikation

$$\begin{aligned}
 \begin{pmatrix} a_1 \\ b_1 \\ c_1 \\ d_1 \end{pmatrix} \cdot \begin{pmatrix} a_2 \\ b_2 \\ c_2 \\ d_2 \end{pmatrix} &\cong \begin{pmatrix} a_1 + b_1 i & c_1 + d_1 i \\ -c_1 + d_1 i & a_1 - b_1 i \end{pmatrix} \cdot \begin{pmatrix} a_2 + b_2 i & c_2 + d_2 i \\ -c_2 + d_2 i & a_2 - b_2 i \end{pmatrix} \\
 &= \begin{pmatrix} a_1 a_2 - b_1 b_2 - c_1 c_2 - d_1 d_2 + (a_1 b_2 + b_1 a_2 + c_1 d_2 - d_1 c_2) i \\ -c_1 a_2 - d_1 b_2 - a_1 c_2 + b_1 d_2 + (-c_1 b_2 + d_1 a_2 + a_1 d_2 + b_1 c_2) i \\ a_1 c_2 - b_1 d_2 + c_1 a_2 + d_1 b_2 + (a_1 d_2 + b_1 c_2 - c_1 b_2 + d_1 a_2) i \\ -c_1 c_2 - d_1 d_2 + a_1 a_2 - b_1 b_2 + (-c_1 d_2 + d_1 c_2 - a_1 b_2 - b_1 a_2) i \end{pmatrix}
 \end{aligned}$$



# Quaternionenschiefkörper $(\mathbb{R}^4, +, \cdot)$

## Bemerkung

$(\mathbb{R}^4, +, \cdot)$  mit der Vektoraddition und der Multiplikation

$$\begin{aligned} \begin{pmatrix} a_1 \\ b_1 \\ c_1 \\ d_1 \end{pmatrix} \cdot \begin{pmatrix} a_2 \\ b_2 \\ c_2 \\ d_2 \end{pmatrix} &\cong \begin{pmatrix} a_1 + b_1 i & c_1 + d_1 i \\ -c_1 + d_1 i & a_1 - b_1 i \end{pmatrix} \cdot \begin{pmatrix} a_2 + b_2 i & c_2 + d_2 i \\ -c_2 + d_2 i & a_2 - b_2 i \end{pmatrix} \\ &\cong \begin{pmatrix} a_1 a_2 - b_1 b_2 - c_1 c_2 - d_1 d_2 \\ a_1 b_2 + b_1 a_2 + c_1 d_2 - d_1 c_2 \\ a_1 c_2 - b_1 d_2 + c_1 a_2 + d_1 b_2 \\ a_1 d_2 + b_1 c_2 - c_1 b_2 + d_1 a_2 \end{pmatrix} \end{aligned}$$

# Quaternionenschiefkörper $(\mathbb{R}^4, +, \cdot)$

## Bemerkung

$(\mathbb{R}^4, +, \cdot)$  mit der Vektoraddition und der Multiplikation

$$\begin{pmatrix} a_1 \\ b_1 \\ c_1 \\ d_1 \end{pmatrix} \cdot \begin{pmatrix} a_2 \\ b_2 \\ c_2 \\ d_2 \end{pmatrix} \cong \begin{pmatrix} a_1 a_2 - b_1 b_2 - c_1 c_2 - d_1 d_2 \\ a_1 b_2 + b_1 a_2 + c_1 d_2 - d_1 c_2 \\ a_1 c_2 - b_1 d_2 + c_1 a_2 + d_1 b_2 \\ a_1 d_2 + b_1 c_2 - c_1 b_2 + d_1 a_2 \end{pmatrix}$$

ist ein zu  $(\mathbb{H}, +, \cdot)$  isomorpher Schiefkörper, der ebenfalls mit  $(\mathbb{H}, +, \cdot)$  bezeichnet wird. Die Inverse lautet

$$\begin{pmatrix} a \\ b \\ c \\ d \end{pmatrix}^{-1} = \frac{1}{a^2 + b^2 + c^2 + d^2} \begin{pmatrix} a \\ -b \\ -c \\ -d \end{pmatrix}$$

## Funktionen in APL

## Dyalog APL

```

r←a Hmul b
r←a[1]×b
r←r+a[2]×-1 1 -1 1 ×b[2 1 4 3]
r←r+a[3]×-1 1 1 -1 1 ×b[3 4 1 2]
r←r+a[4]×-1 -1 1 1 1 ×ϕb

```

```
Hinv←{((1↑ω),-1↓ω)÷+/ω×ω}
```

```
Hdiv←{α Hmul Hinv ω}
```

```
Hcon←{(1↑ω),-1↓ω}
```

```
HSDi←{(α Hmul ω)-ω Hmul α}
```

## Funktionen in APL

## Dyalog APL

```

r←a Hmul b
r←a[1]×b
r←r+a[2]×-1 1 -1 1 ×b[2 1 4 3]
r←r+a[3]×-1 1 1 -1 1 ×b[3 4 1 2]
r←r+a[4]×-1 -1 1 1 1 ×ϕb

```

```
Hinv←{(1↑ω),-1↓ω)÷+/ω×ω}
```

```
Hdiv←{α Hmul Hinv ω}
```

```
Hcon←{(1↑ω),-1↓ω}
```

```
HsDi←{(α Hmul ω)-ω Hmul α}
```

```

          Hinv 0 0 1 1
0 0 -0.5 -0.5
          0 1 0 0 Hmul 0 0 1 0
0 0 0 1
          0 1 0 0 HsDi 0 0 1 0
0 0 0 2

```

## Funktionen in APL

## IBM APL2

```

r←a Hmul b
r←a[1]×b
r←r+a[2]×-1 1 1 -1 1×b[2 1 4 3]
r←r+a[3]×-1 1 1 1 -1×b[3 4 1 2]
r←r+a[4]×-1 1 -1 1 1×ϕb

```

```

r←Hinv a
r←(a[1],-1↓a)÷+/a×a

```

```

r←a Hdiv b
r←a Hmul Hinv b

```

```

r←Hcon a
r←a[1],-1↓a

```

```

r←a HsDi b
r←(a Hmul b)-b Hmul a

```

## Funktionen in APL

## IBM APL2

```

r←a Hmul b
r←a[1]×b
r←r+a[2]×-1 1 1 -1 1×b[2 1 4 3]
r←r+a[3]×-1 1 1 1 -1×b[3 4 1 2]
r←r+a[4]×-1 1 1 1 1×ϕb
                                Hinv 0 0 1 1
0 0 -0.5 -0.5

r←Hinv a
r←(a[1],-1↓a)÷+/a×a
                                0 1 0 0 Hmul 0 0 1 0
0 0 0 1

r←a Hdiv b
r←a Hmul Hinv b
                                0 1 0 0 HsDi 0 0 1 0
0 0 0 2

r←Hcon a
r←a[1],-1↓a

r←a HsDi b
r←(a Hmul b)-b Hmul a

```

# Komplexe Konjugation und Norm

## Definition (Konjugation, Norm)

- 1 Die komplexe Konjugation  $*$  :  $\mathbb{H} \rightarrow \mathbb{H}$  wird definiert durch

$$\begin{pmatrix} a \\ b \\ c \\ d \end{pmatrix}^* = \begin{pmatrix} a \\ -b \\ -c \\ -d \end{pmatrix} \text{ oder } \begin{pmatrix} a+bi & c+di \\ -c+di & a-bi \end{pmatrix}^* = \begin{pmatrix} a-bi & -c-di \\ c-di & a+bi \end{pmatrix}.$$

Sie ist ein additiver Automorphismus und ein multiplikativer Antiautomorphismus auf  $\mathbb{H}$ .

- 2 Die Norm  $N : \mathbb{H} \rightarrow \mathbb{R}_{\geq 0}$  einer Quaternion ist

$$N \left( \begin{pmatrix} a \\ b \\ c \\ d \end{pmatrix} \right) = a^2 + b^2 + c^2 + d^2 = \left| \begin{pmatrix} a+bi & c+di \\ -c+di & a-bi \end{pmatrix} \right|.$$

# Einheitsquaternionen

## Bemerkung

Für  $q_1, q_2 \in \mathbb{H}$  gilt  $N(q_1 \cdot q_2) = N(q_1)N(q_2)$ .  $N$  ist also ein Homomorphismus von  $(\mathbb{H}, \cdot)$  auf  $(\mathbb{R}_{\geq 0}, \cdot)$ .

**Beweis:**  $N(q_i) = \det(q_i)$

## Satz

Für  $S := N^{-1}\{1\} = \{q \in \mathbb{H} \mid N(s) = 1\}$  gilt  $S \cong \text{SU}(2, \mathbb{C})$ .  $S$  ist die Menge aller Einheitsquaternionen.



# Einheitsquaternionen

## Bemerkung

Für  $q_1, q_2 \in \mathbb{H}$  gilt  $N(q_1 \cdot q_2) = N(q_1)N(q_2)$ .  $N$  ist also ein Homomorphismus von  $(\mathbb{H}, \cdot)$  auf  $(\mathbb{R}_{\geq 0}, \cdot)$ .

**Beweis:**  $N(q_i) = \det(q_i)$

## Satz

Für  $S := N^{-1}\{1\} = \{q \in \mathbb{H} \mid N(s) = 1\}$  gilt  $S \cong \text{SU}(2, \mathbb{C})$ .  $S$  ist die Menge aller Einheitsquaternionen.

# Real - und Imaginärteil

## Definition

Der Realteil einer Quaternion  $a h_0 + b h_1 + c h_2 + d h_3$  ist  $a$ , ihr

Imaginärteil  $\begin{pmatrix} b \\ c \\ d \end{pmatrix}$ .

Bei der Zerlegung  $\mathbb{H} = h_0 \mathbb{R} \oplus h_1 \mathbb{R} \oplus h_2 \mathbb{R} \oplus h_3 \mathbb{R} \cong \mathbb{R} \oplus \mathbb{R}^3 \cong \mathbb{R} \oplus V$  bezeichnet  $V := \mathbb{R}^3$  die Menge der Imaginärteile.

# Real - und Imaginärteil

## Bemerkung (Multiplikation)

Für  $a, a_i \in \mathbb{R}$  und  $\vec{v}, \vec{v}_i \in V (i = 1, 2)$  gelten

- $$\begin{pmatrix} a_1 \\ \vec{v}_1 \end{pmatrix} \cdot \begin{pmatrix} a_2 \\ \vec{v}_2 \end{pmatrix} = \begin{pmatrix} a_1 a_2 - \langle \vec{v}_1, \vec{v}_2 \rangle \\ a_1 \vec{v}_2 + a_2 \vec{v}_1 + \vec{v}_1 \times \vec{v}_2 \end{pmatrix}.$$

*Die auf  $V$  eingeschränkte Multiplikation entspricht dem Kreuzprodukt.*

# Real - und Imaginärteil

## Bemerkung (Multiplikation, Inverse)

Für  $a, a_i \in \mathbb{R}$  und  $\vec{v}, \vec{v}_i \in V (i = 1, 2)$  gelten

- $$\begin{pmatrix} a_1 \\ \vec{v}_1 \end{pmatrix} \cdot \begin{pmatrix} a_2 \\ \vec{v}_2 \end{pmatrix} = \begin{pmatrix} a_1 a_2 - \langle \vec{v}_1, \vec{v}_2 \rangle \\ a_1 \vec{v}_2 + a_2 \vec{v}_1 + \vec{v}_1 \times \vec{v}_2 \end{pmatrix}.$$

Die auf  $V$  eingeschränkte Multiplikation entspricht dem Kreuzprodukt.

- $$\begin{pmatrix} a \\ \vec{v} \end{pmatrix}^{-1} = \frac{1}{a^2 + \|\vec{v}\|^2} \begin{pmatrix} a \\ -\vec{v} \end{pmatrix}$$

# Real - und Imaginärteil

## Bemerkung (Einheitsquaternionen)

Given  $a, a_i \in \mathbb{R}$  und  $\vec{v}, \vec{v}_i \in V (i = 1, 2)$  gelten

- $$S = \left\{ \begin{pmatrix} \cos(\alpha) \\ \sin(\alpha) \hat{\omega} \end{pmatrix} \mid \alpha \in [0, 2\pi) \wedge \hat{\omega} \in \{\vec{v} \in \mathbb{R}^3 \mid \|\vec{v}\| = 1\} \right\}$$

*Diese Darstellung heißt Polardarstellung einer Einheitsquaternione.*

# Real - und Imaginärteil

## Bemerkung (Einheitsquaternionen, Konjugieren)

Given  $a, a_i \in \mathbb{R}$  und  $\vec{v}, \vec{v}_i \in V (i = 1, 2)$  gelten

- Konjugieren mit Einheitsquaternionen liefert mit  $\begin{pmatrix} \cos(\alpha) \\ \sin(\alpha) \hat{\omega} \end{pmatrix}$

$$\begin{aligned} & \begin{pmatrix} \cos(\alpha) \\ \sin(\alpha) \hat{\omega} \end{pmatrix} \cdot \begin{pmatrix} 0 \\ \vec{v} \end{pmatrix} \cdot \begin{pmatrix} \cos(\alpha) \\ \sin(\alpha) \hat{\omega} \end{pmatrix}^{-1} \\ &= \begin{pmatrix} 0 \\ (\cos^2(\alpha) - \sin^2(\alpha))\vec{v} + 2 \langle \vec{\omega}, \vec{v} \rangle \vec{\omega} + 2 \cos(\alpha) \vec{\omega} \times \vec{v} \end{pmatrix} \\ &= \begin{pmatrix} 0 \\ \cos(2\alpha)\vec{v} + 2 \sin^2(\alpha) \langle \hat{\omega}, \vec{v} \rangle \hat{\omega} + \sin(2\alpha) \hat{\omega} \times \vec{v} \end{pmatrix} \end{aligned}$$

# Real - und Imaginärteil

## Bemerkung (Einheitsquaternionen, Konjugieren)

Given  $a, a_i \in \mathbb{R}$  und  $\vec{v}, \vec{v}_i \in V (i = 1, 2)$  gelten

- Zum Konjugieren mit der Einheitsquaternion  $\begin{pmatrix} \cos(\alpha) \\ \sin(\alpha)\hat{\omega} \end{pmatrix} = \begin{pmatrix} \omega_0 \\ \omega_x \\ \omega_y \\ \omega_z \end{pmatrix}$

gehört die Drehmatrix

$$D_{\omega, \alpha} = \begin{pmatrix} \omega_0^2 + \omega_x^2 - \omega_y^2 - \omega_z^2 & 2(\omega_x\omega_y - 2\omega_0\omega_z) & 2(\omega_0\omega_y + \omega_x\omega_z) \\ 2(\omega_0\omega_z + \omega_x\omega_y) & \omega_0^2 - \omega_x^2 + \omega_y^2 - \omega_z^2 & 2(\omega_y\omega_z - \omega_0\omega_x) \\ 2(\omega_x\omega_z - \omega_0\omega_y) & 2(\omega_0\omega_x + \omega_y\omega_z) & \omega_0^2 - \omega_x^2 - \omega_y^2 + \omega_z^2 \end{pmatrix}.$$

auf  $V$ .

# Drehungen

## Satz

Konjugieren mit einer Einheitsquaternione  $\begin{pmatrix} \cos(\alpha) \\ \sin(\alpha) \hat{w} \end{pmatrix}$  bewirkt eine Drehung um die Achse  $\hat{w}$  mit den Winkel  $2\alpha$ .

```

s+€(2 10015+180)*^1 (0 0 1)
0.9659258263 0 0 0.2588190451

```

```

Hdrmat s
0.8660254038 -0.5 0
0.5 0.8660254038 0
0 0 1

```

```

s Hdreh 0,v+1 2 3
0 -0.1339745962 2.232050808 3
(Hdrmat s)+.*v
-0.1339745962 2.232050808 3

```



# Drehungen

## Satz

Konjugieren mit einer Einheitsquaternione  $\begin{pmatrix} \cos(\alpha) \\ \sin(\alpha) \hat{w} \end{pmatrix}$  bewirkt eine Drehung um die Achse  $\hat{w}$  mit den Winkel  $2\alpha$ .

```
,s←€(2 10015÷180)×π1 (0 0 1)
0.9659258263 0 0 0.2588190451
```

```
Hdrmat s
0.8660254038 -0.5 0
0.5 0.8660254038 0
0 0 1
```

```
s Hdreh 0,v←1 2 3
0 -0.1339745962 2.232050808 3
(Hdrmat s)+.×v
-0.1339745962 2.232050808 3
```

# Drehungen

## Satz

Konjugieren mit einer Einheitsquaternion  $\begin{pmatrix} \cos(\alpha) \\ \sin(\alpha)\hat{w} \end{pmatrix}$  bewirkt eine Drehung um die Achse  $\hat{w}$  mit dem Winkel  $2\alpha$ .

## Beweis:

$$\begin{pmatrix} \cos(\alpha) \\ \sin(\alpha)\hat{w} \end{pmatrix} \cdot \begin{pmatrix} 0 \\ \vec{v} \end{pmatrix} \cdot \begin{pmatrix} \cos(\alpha) \\ \sin(\alpha)\hat{w} \end{pmatrix}^{-1} = \begin{pmatrix} 0 \\ \cos(2\alpha)\vec{v} + 2\sin^2(\alpha)\langle \hat{w}, \vec{v} \rangle \hat{w} + \sin(2\alpha)\hat{w} \times \vec{v} \end{pmatrix}$$

$$\hat{w} \mapsto (\cos^2(\alpha) - \sin^2(\alpha) + 2\sin^2(\alpha))\hat{w} = \hat{w}$$

$$\hat{e} \mapsto \cos(2\alpha)\hat{e} + \sin(2\alpha)\hat{w} \times \hat{e}$$

$$\begin{aligned} \hat{w} \times \hat{e} &\mapsto \cos(2\alpha)\hat{w} \times \hat{e} + \sin(2\alpha)\hat{w} \times (\hat{w} \times \hat{e}) \\ &= \cos(2\alpha)\hat{w} \times \hat{e} - \sin(2\alpha)\hat{e} \end{aligned}$$

# Drehungen

## Satz

Für  $\tau : \left\{ \begin{array}{l} S \rightarrow \text{SO}(3, \mathbb{R}) \\ s \mapsto \tau(s) : \left\{ \begin{array}{l} V \rightarrow V \\ v \mapsto sv s^{-1} \end{array} \right\} \end{array} \right\}$  gelten:

- 1  $\tau(s)$  ist eine spezielle orthogonale Abb. des Vektorraums  $V$  in sich.
- 2  $\tau$  ist ein Epimorphismus mit  $\ker \tau = \langle -h_0 \rangle = \{h_0, -h_0\} = S \cap Z(\mathbb{H})$ .

# Drehungen

## Satz

Für  $\tau : \left\{ \begin{array}{l} S \rightarrow \text{SO}(3, \mathbb{R}) \\ s \mapsto \tau(s) : \left\{ \begin{array}{l} V \rightarrow V \\ v \mapsto sv s^{-1} \end{array} \right\} \end{array} \right\}$  gelten:

- 1  $\tau(s)$  ist eine spezielle orthogonale Abb. des Vektorraums  $V$  in sich.
- 2  $\tau$  ist ein Epimorphismus mit  $\ker \tau = \langle -h_0 \rangle = \{h_0, -h_0\} = S \cap Z(\mathbb{H})$ .

## Zusammenfassung

$$S/\{\pm 1\} \cong \text{SU}(2, \mathbb{C})/\{\pm \text{Id}\} \cong \text{SO}(3, \mathbb{R})$$

- 1 Einleitung
- 2 Quaternionen
- 3 Quaternionen in der Bilderkennung
  - Aufwand Drehmatrizen – Quaternionen
  - Bestimmen der Drehung
  - Beispiel

# Bildererkennung

## Rechenaufwand: Anzahl Multiplikationen

- 1 Anwendung einer Matrix auf einen Vektor: 9 Multiplikation.
- 2 Einheitsquaternione angewandt auf rein imaginären Vektor durch Konjugieren: 18 Multiplikation.
- 3 Multiplikation zweier Matrizen: 27 Multiplikationen.
- 4 Multiplikation zweier Einheitsquaternionen: 16 Multiplikationen.
- 5 Berechnung der Drehmatrix aus einer Einheitsquaternione: 10 Multiplikationen.

Vgl. Wikipedia, [Quaternionen](#).

# Bildererkennung

## Rechenaufwand: Anzahl Multiplikationen

- 1 Anwendung einer Matrix auf einen Vektor: 9 Multiplikation.
- 2 Einheitsquaternione angewandt auf rein imaginären Vektor durch Konjugieren: 18 Multiplikation.
- 3 Multiplikation zweier Matrizen: 27 Multiplikationen.
- 4 Multiplikation zweier Einheitsquaternionen: 16 Multiplikationen.
- 5 Berechnung der Drehmatrix aus einer Einheitsquaternione: 10 Multiplikationen.

Vgl. Wikipedia, [Quaternionen](#).

# Bildererkennung

## Rechenaufwand: Anzahl Multiplikationen

- 1 Anwendung einer Matrix auf einen Vektor: **9 Multiplikation.**
- 2 Einheitsquaternione angewandt auf rein imaginären Vektor durch Konjugieren: **18 Multiplikation.**
- 3 **Multiplikation zweier Matrizen: 27 Multiplikationen.**
- 4 Multiplikation zweier Einheitsquaternionen: 16 Multiplikationen.
- 5 Berechnung der Drehmatrix aus einer Einheitsquaternione: 10 Multiplikationen.

Vgl. Wikipedia, [Quaternionen](#).



# Bildererkennung

## Rechenaufwand: Anzahl Multiplikationen

- 1 Anwendung einer Matrix auf einen Vektor: **9 Multiplikation.**
- 2 Einheitsquaternione angewandt auf rein imaginären Vektor durch Konjugieren: **18 Multiplikation.**
- 3 Multiplikation zweier Matrizen: **27 Multiplikationen.**
- 4 **Multiplikation zweier Einheitsquaternionen: 16 Multiplikationen.**
- 5 Berechnung der Drehmatrix aus einer Einheitsquaternione: **10 Multiplikationen.**

Vgl. Wikipedia, [Quaternionen](#).

# Bildererkennung

## Rechenaufwand: Anzahl Multiplikationen

- 1 Anwendung einer Matrix auf einen Vektor: **9 Multiplikation.**
- 2 Einheitsquaternione angewandt auf rein imaginären Vektor durch Konjugieren: **18 Multiplikation.**
- 3 Multiplikation zweier Matrizen: **27 Multiplikationen.**
- 4 Multiplikation zweier Einheitsquaternionen: **16 Multiplikationen.**
- 5 Berechnung der Drehmatrix aus einer Einheitsquaternione: **10 Multiplikationen.**

Vgl. Wikipedia, [Quaternionen](#).

# Bildererkennung

## Aufgabe (Drehung bestimmen)

Welche Drehung dreht ein Modellobjekt  $\{\vec{m}_i \mid i = 1, \dots, n\}$  auf das Szenenobjekt  $\{\vec{s}_i \mid i = 1, \dots, n\}$  ?

Durch Translation kann erreicht werden, dass ein Punkt des Modells mit einem Punkt der Szene übereinstimmt. Dieser Punkt wird als Ursprung der Drehung gewählt. Gesucht ist jetzt die Drehung  $D$ , die den Fehler

$$E(D) = \sum_{i=1}^n \|\vec{s}_i - D\vec{m}_i\|^2$$

minimiert.

# Bildererkennung

Formulierung mit Einheitsquaternionen  $q = \begin{pmatrix} \cos\left(\frac{\alpha}{2}\right) \\ \sin\left(\frac{\alpha}{2}\right) \hat{\omega} \end{pmatrix}$

$$E(D) = \sum_{i=1}^n \|\vec{s}_i - D\vec{m}_i\|^2$$

# Bildererkennung

Formulierung mit Einheitsquaternionen  $q = \begin{pmatrix} \cos\left(\frac{\alpha}{2}\right) \\ \sin\left(\frac{\alpha}{2}\right) \hat{\omega} \end{pmatrix}$

$$E(D) = \sum_{i=1}^n \|\vec{s}_i - D\vec{m}_i\|^2 \cdot 1$$

# Bildererkennung

Formulierung mit Einheitsquaternionen  $q = \begin{pmatrix} \cos\left(\frac{\alpha}{2}\right) \\ \sin\left(\frac{\alpha}{2}\right) \hat{\omega} \end{pmatrix}$

$$E(D) = \sum_{i=1}^n \|\vec{s}_i - D\vec{m}_i\|^2 \cdot 1 = \sum_{i=1}^n \|\vec{s}_i - q\vec{m}_i q^{-1}\|^2 \cdot \|q^2\| \quad (1)$$

(1):  $\|q^2\| = 1$

# Bildererkennung

Formulierung mit Einheitsquaternionen  $q = \begin{pmatrix} \cos\left(\frac{\alpha}{2}\right) \\ \sin\left(\frac{\alpha}{2}\right) \hat{\omega} \end{pmatrix}$

$$\begin{aligned}
 E(D) &= \sum_{i=1}^n \|\vec{s}_i - D\vec{m}_i\|^2 \cdot 1 = \sum_{i=1}^n \|\vec{s}_i - q\vec{m}_i q^{-1}\|^2 \cdot \|q^2\| & (1) \\
 &= \sum_{i=1}^n \|\vec{s}_i q - q\vec{m}_i\|^2
 \end{aligned}$$

(1):  $\|q^2\| = 1$

# Bildererkennung

Formulierung mit Einheitsquaternionen  $q = \begin{pmatrix} \cos\left(\frac{\alpha}{2}\right) \\ \sin\left(\frac{\alpha}{2}\right) \hat{\omega} \end{pmatrix}$

$$E(D) = \sum_{i=1}^n \|\vec{s}_i - D\vec{m}_i\|^2 \cdot 1 = \sum_{i=1}^n \|\vec{s}_i - q\vec{m}_i q^{-1}\|^2 \cdot \|q^2\| \quad (1)$$

$$= \sum_{i=1}^n \|\vec{s}_i q - q\vec{m}_i\|^2 = \sum_{i=1}^n \|A_i \vec{q}\|^2 \quad (2)$$

(1):  $\|q^2\| = 1$

(2):  $q \mapsto \vec{s}_i q - q\vec{m}_i$  ist  $\mathbb{R}$ -linear  $\mathbb{H} \rightarrow \mathbb{H}$  in  $q$ :  $A_i \in \text{GL}(\mathbb{R}^4)$ .



# Bildererkennung

Formulierung mit Einheitsquaternionen  $q = \begin{pmatrix} \cos\left(\frac{\alpha}{2}\right) \\ \sin\left(\frac{\alpha}{2}\right) \hat{\omega} \end{pmatrix}$

$$E(D) = \sum_{i=1}^n \|\vec{s}_i - D\vec{m}_i\|^2 \cdot 1 = \sum_{i=1}^n \|\vec{s}_i - q\vec{m}_i q^{-1}\|^2 \cdot \|q^2\| \quad (1)$$

$$= \sum_{i=1}^n \|\vec{s}_i q - q\vec{m}_i\|^2 = \sum_{i=1}^n \|A_i \vec{q}\|^2 = \sum_{i=1}^n \vec{q}^t A_i^t A_i \vec{q} \quad (2)$$

(1):  $\|q^2\| = 1$

(2):  $q \mapsto \vec{s}_i q - q\vec{m}_i$  ist  $\mathbb{R}$ -linear  $\mathbb{H} \rightarrow \mathbb{H}$  in  $q$ :  $A_i \in \text{GL}(\mathbb{R}^4)$ .

# Bildererkennung

Formulierung mit Einheitsquaternionen  $q = \begin{pmatrix} \cos\left(\frac{\alpha}{2}\right) \\ \sin\left(\frac{\alpha}{2}\right) \hat{\omega} \end{pmatrix}$

$$E(D) = \sum_{i=1}^n \|\vec{s}_i - D\vec{m}_i\|^2 \cdot 1 = \sum_{i=1}^n \|\vec{s}_i - q\vec{m}_i q^{-1}\|^2 \cdot \|q^2\| \quad (1)$$

$$= \sum_{i=1}^n \|\vec{s}_i q - q\vec{m}_i\|^2 = \sum_{i=1}^n \|A_i \vec{q}\|^2 = \sum_{i=1}^n \vec{q}^t A_i^t A_i \vec{q} \quad (2)$$

$$= \vec{q}^t \left( \sum_{i=1}^n A_i^t A_i \right) \vec{q}$$

(1):  $\|q^2\| = 1$

(2):  $q \mapsto \vec{s}_i q - q\vec{m}_i$  ist  $\mathbb{R}$ -linear  $\mathbb{H} \rightarrow \mathbb{H}$  in  $q$ :  $A_i \in \text{GL}(\mathbb{R}^4)$ .

# Bildererkennung

Formulierung mit Einheitsquaternionen  $q = \begin{pmatrix} \cos\left(\frac{\alpha}{2}\right) \\ \sin\left(\frac{\alpha}{2}\right) \hat{\omega} \end{pmatrix}$

$$E(D) = \sum_{i=1}^n \|\vec{s}_i - D\vec{m}_i\|^2 \cdot 1 = \sum_{i=1}^n \|\vec{s}_i - q\vec{m}_i q^{-1}\|^2 \cdot \|q^2\| \quad (1)$$

$$= \sum_{i=1}^n \|\vec{s}_i q - q\vec{m}_i\|^2 = \sum_{i=1}^n \|A_i \vec{q}\|^2 = \sum_{i=1}^n \vec{q}^t A_i^t A_i \vec{q} \quad (2)$$

$$= \vec{q}^t \left( \sum_{i=1}^n A_i^t A_i \right) \vec{q} = \vec{q}^t \cdot B \cdot \vec{q} \quad (3)$$

(1):  $\|q^2\| = 1$

(2):  $q \mapsto \vec{s}_i q - q\vec{m}_i$  ist  $\mathbb{R}$ -linear  $\mathbb{H} \rightarrow \mathbb{H}$  in  $q$ :  $A_i \in \text{GL}(\mathbb{R}^4)$ .

(3):  $B$  ist symmetrisch.

# Bildererkennung

$$\begin{aligned}
 \vec{q}^t \cdot B \cdot \vec{q} &= \langle \vec{q}, B\vec{q} \rangle = \left\langle \vec{q}, \left( \sum_{i=1}^n A_i^t A_i \right) \vec{q} \right\rangle = \sum_{i=1}^n \langle \vec{q}, A_i^t A_i \vec{q} \rangle \\
 &= \sum_{i=1}^n \langle A_i \vec{q}, A_i \vec{q} \rangle = \sum_{i=1}^n \|A_i \vec{q}\|^2
 \end{aligned}$$

ist semi-definit. Der Eigenvektor zum kleinsten nicht-negativen Eigenwert minimiert den Fehler.

# Bildererkennung

$$\begin{aligned} \vec{q}^t \cdot B \cdot \vec{q} &= \langle \vec{q}, B\vec{q} \rangle = \left\langle \vec{q}, \left( \sum_{i=1}^n A_i^t A_i \right) \vec{q} \right\rangle = \sum_{i=1}^n \langle \vec{q}, A_i^t A_i \vec{q} \rangle \\ &= \sum_{i=1}^n \langle A_i \vec{q}, A_i \vec{q} \rangle = \sum_{i=1}^n \|A_i \vec{q}\|^2 \end{aligned}$$

ist semi-definit. Der Eigenvektor zum kleinsten nicht-negativen Eigenwert minimiert den Fehler.

## Verfahren

Für  $A_i : \left\{ \begin{array}{l} \mathbb{H} \rightarrow \mathbb{H} \\ q \mapsto \vec{s}_i q - q \vec{m}_i \end{array} \right\} \in \text{GL}_{\mathbb{R}}(\mathbb{H})$  und  $B = \sum_{i=1}^n A_i^t A_i$  minimiert die Matrix  $D$  zum Einheitseigenvektor  $\vec{q}$  mit dem kleinsten Eigenwert der Matrix  $B$  den Fehler  $E(D)$ . Der kleinste Eigenwert und der dazugehörige Eigenvektor können durch das Verfahren von Mises und die Wielandt-Iteration berechnet werden.

# Modell und Szene

## Modell, Szene

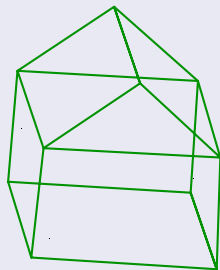
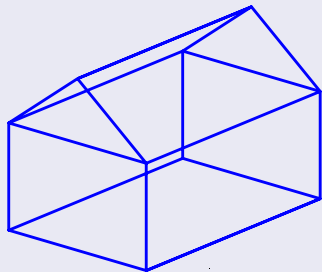
```

mo ← 4 3 ρ 0 0 0 12 0 0 12 8 0 0 8 0
mo ← mo, [1] 0 0 5 + [2] mo
mo ← mo, [1] 2 3 ρ 0 4 8 12 4 8
s ← mo + . × 1 Drm3 - 4 5 4 5
s ← (0.99 + (ρ s) ρ 0.02 × ε ((ρ, s) ρ 1) ? ** 2) × s
sc ← 14 31 4 + [2] s

```

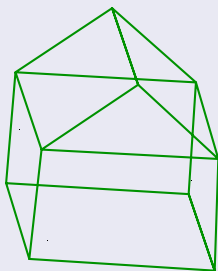
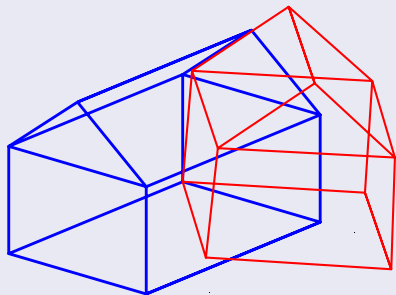
# Modell und Szene

## Modell, Szene



# Modell und Szene

## Modell, Szene, Translation der Szene





# Modell und Szene

## Verfahren

Für  $A_i : \left\{ \begin{array}{l} \mathbb{H} \rightarrow \mathbb{H} \\ q \mapsto \vec{s}_i q - q \vec{m}_i \end{array} \right\} \in \text{GL}_{\mathbb{R}}(\mathbb{H})$  und  $B = \sum_{i=1}^n A_i^t A_i$  minimiert die Matrix  $D$  zum Einheitseigenvektor  $\vec{q}$  mit dem kleinsten Eigenwert der Matrix  $B$  den Fehler  $E(D)$ . Der kleinste Eigenwert und der dazugehörige Eigenvektor können durch das Verfahren von Mises und die Wielandt-Iteration berechnet werden.

## Berechnung

# Modell und Szene

## Verfahren

Für  $A_i : \left\{ \begin{array}{l} \mathbb{H} \rightarrow \mathbb{H} \\ q \mapsto \vec{s}_i q - q \vec{m}_i \end{array} \right\} \in GL_{\mathbb{R}}(\mathbb{H})$  und  $B = \sum_{i=1}^n A_i^t A_i$  minimiert die Matrix  $D$  zum Einheitseigenvektor  $\vec{q}$  mit dem kleinsten Eigenwert der Matrix  $B$  den Fehler  $E(D)$ . Der kleinste Eigenwert und der dazugehörige Eigenvektor können durch das Verfahren von Mises und die Wielandt-Iteration berechnet werden.

## Berechnung

```

q ← c[2]4 4p5†1
A ← Q → c[2]((c[2]0,s)◦.Hmul q) - Qq◦.Hmul c[2]0,mo
,(w e) ← Wielal B ← +/(Q → A) + .x → A
0.4749283006      0.9226059704
                  -0.02755600419
                  -0.04835511334
                  0.3817075752

```

# Modell und Szene

## Berechnung von Mises Algorithmus

```
r ← Mises1 mat
```

```
x ← (↑ρmat)↑1
```

DO:

```
x ← mat + . × xalt ← x
```

```
x ← x ÷ (+ / x × x) × 0.5
```

```
→ ((↑ / |x - xalt) > 1E-8) / DO
```

```
r ← ((mat + . × x) ⊞ x) (, [1.5]x)
```

# Modell und Szene

## Berechnung Wielands Algorithmus

$r \leftarrow \text{Wieland1 mat}$

$x \leftarrow (\uparrow \rho \text{mat}) \uparrow 1$

DO:

$x \leftarrow (x \text{alt} \leftarrow x) \boxtimes \text{mat}$

$x \leftarrow x \div (+ / x \times x) * 0.5$

$\rightarrow ((\uparrow / |x - x \text{alt}|) > 1E^{-8}) / \text{DO}$

$r \leftarrow ((\text{mat} + . \times x) \boxtimes x) (, [1.5] x)$

# Modell und Szene

## Berechnung Wielandts Algorithmus

$q \leftarrow c[2]4 \ 4P5 \uparrow 1$

$A \leftarrow Q \cdot c[2] \left( (c[2]0, s) \circ \cdot \text{Hmul } q \right) - Qq \circ \cdot \text{Hmul } c[2]0, mo$   
 $, (w \ e) \leftarrow \text{Wielandts } B \leftarrow + / (Q \cdot A) + \cdot x \cdot A$

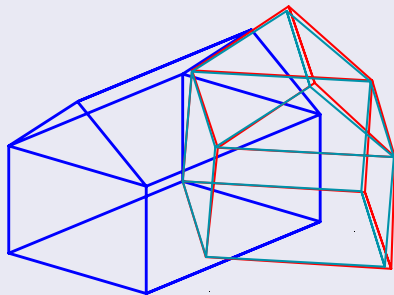
0.4749283006      0.9226059704  
                     -0.02755600419  
                     -0.04835511334  
                     0.3817075752

$(s \rightarrow (c \text{Hdmat}, e) + \cdot x \cdot c[2]mo) \div s$

| 1              | 1              | 1               |
|----------------|----------------|-----------------|
| 0.01195321674  | 0.02690747054  | 0.05094570483   |
| 0.02025259723  | 0.009462197457 | 0.1873015667    |
| 0.02697763674  | 0.01218516893  | 0.0005827847932 |
| 0.0335428643   | -0.08286290679 | 0.009864244847  |
| 0.01178156164  | 0.02610348703  | 0.03224123759   |
| 0.04065164481  | 0.02820517393  | 0.01477831918   |
| 0.008312330371 | 0.01091595672  | 0.01137495259   |
| 0.009319165317 | 0.02747665199  | 0.01028882928   |
| 0.03313149529  | 0.007787749596 | 0.01245741103   |

# Modell und Szene

## Erkennen



# Literatur

Huppert, B. und W. Willems. **Lineare Algebra**. Teubner, 2006.

Jung, X. und H. Bunke. **Dreidimensionales Computersehen. Gewinnung und Analyse von Tiefenbildern**. Berlin: Springer, 1997.

Mathepedia. **Quaternionen**. <http://http://www.mathepedia.de/Quaternionen.html> (besucht 30.01.2018).

Robinson, D. J. **Abstract Algebra: An Introduction with Applications**. 2<sup>nd</sup> ed. De Gruyter Textbook. Berlin: Walter de Gruyter, 2015.

Wikipedia. **Quaternionen**. <http://https://de.wikipedia.org/wiki/Quaternion> (besucht 30.01.2018).